# III Exploitation des données recueillies

***Carte des points de sondage :***

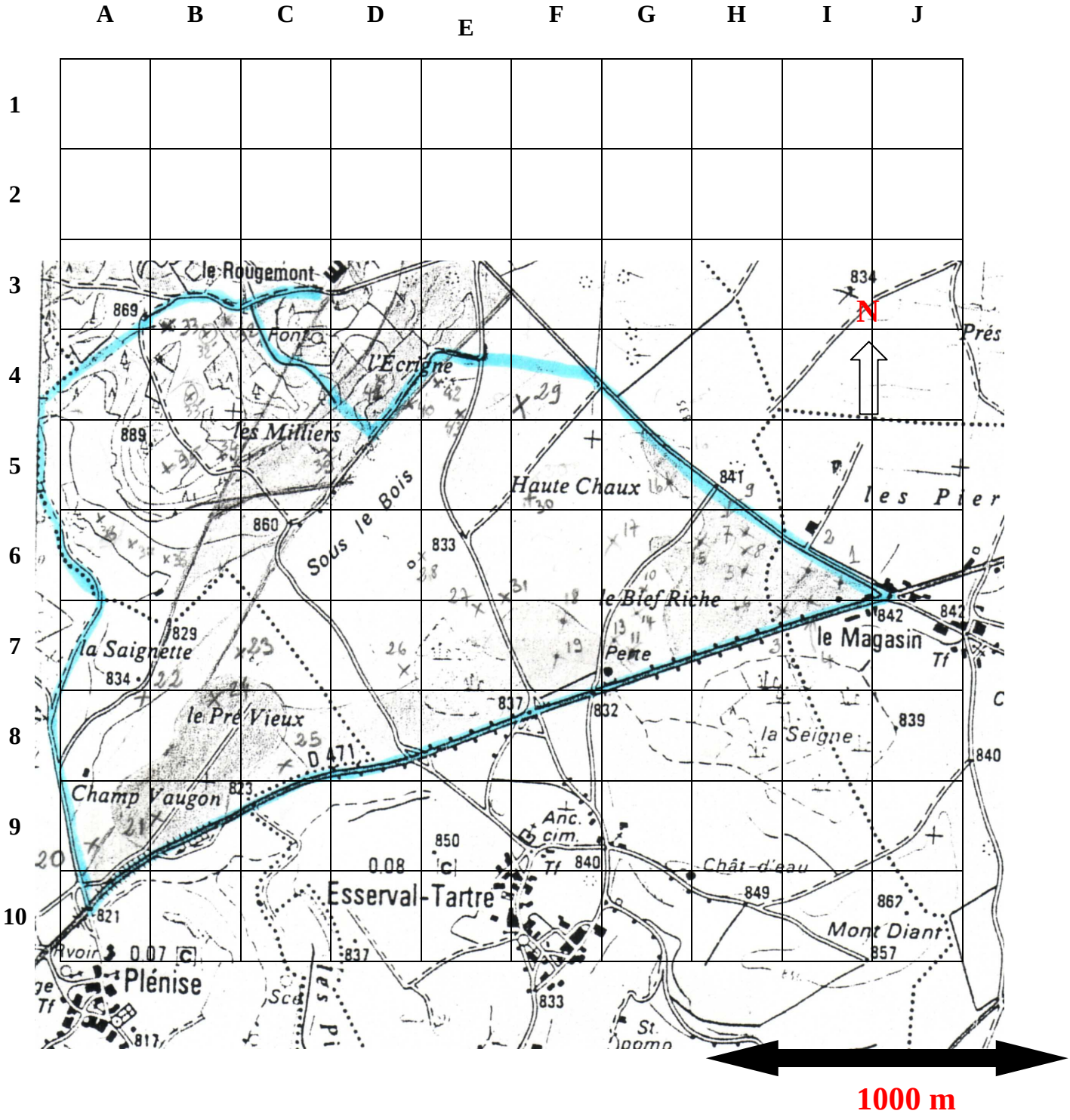

Le choix de la plupart des points de prélèvements en position sommitale est volontaire.
Nous faisons ici l'hypothèse simplificatrice que les types de sol constituant les parties basses correspondent à des sols d'apport ou des sols colluviaux.
Les parties basses, (entre les reliefs) étant essentiellement constitués de sols colluviaux, (profonds, aérés…) sont aussi aptes à l'épandage de lisier.
Tableau récapitulatif des points de sondage :

| Numéros des points | Sigle de Bruckert | Classe | Coordonnées |
|---|---|---|---|
| 1 | $\frac{la.la}{K_4}$ | I | J6 |
| 2 | $\frac{la}{K_4}$ | I | J6 |
| 3 | $\frac{la}{K_4}$ | I | J6 |
| 4 | $\frac{la'}{M_3} g_4$ | II | J6 |
| 5 | $\frac{la}{K_2} r$ | IV | I6 |
| 6 | $\frac{la}{K_3}$ | II | I6 |
| 7 | $\frac{la}{K_3}$ | II | I5 |
| 8 | $\frac{la.s}{K_4}$ | III | I5 /6 |
| 9 | $\frac{la}{K_2 r1}$ | IV | I5 |
| 10 | $\frac{la_*}{K_2 r}$ | IV | H6 |
| 11 | $\frac{la.al}{M_3}$ | IV | H7 |
| 12 | $\frac{la}{M_4 Y_3} g_3$ | IV | H7 |
| 13 | $\frac{la_{*.S}}{K_2}$ | III | H7 |
| 14 | $\frac{la}{K_3}$ | II | H6 |
| 15 | $\frac{la_*}{K_2} r$ | IV | I6 |
| 16 | $\frac{ls}{K_1} r$ | II | H5 |
| 17 | $\frac{la'}{K_4}$ | I | H6 |
| 18 | $\frac{la'}{K_4}$ | I | G6/7 |
| 19 | $\frac{la'}{K_4}$ | I | G7 |
| 20 22 24 | $\frac{al}{K_1}$ | V | B9 C7 C8 |
| 21 23 30 | $\frac{la.al}{K_4}$ | II | C9 D7 G5 |
| 25 | $\frac{la.al}{M_4 Y_2} g_2$ | V | D8 |

| Numéros des points | Sigle de Bruckert | Classe | Coordonnées |
|---|---|---|---|
| 26 | $\frac{la}{K_2 Y_1} g_2$ | V | F7 |
| 27 31 | $\frac{la}{K_4}$ | I | F6/7 G6 |
| 28 | $\frac{la}{K_1}$ | V | F6 |
| 29 | $\frac{la}{K_2}$ | III | F6 |
| 32 | $\frac{la}{K_2} r$ | IV | C4 |
| 33 | $\frac{la^*}{K_2} r$ | IV | C4 |
| 34 | $\frac{la}{K_2} r$ | IV | C5 |
| 35 | $\frac{la}{K_1} r$ | IV | C5 |
| 36 | $\frac{la}{K_1}$ | IV | B6 |
| 37 38 41 | $\frac{la.la}{K_4}$ | I | B6 C6 E4 |
| 39 | $\frac{la.al}{K_4}$ | I | D5 |
| 40 | $\frac{la^*}{K_2} r$ | IV | E4 |
| 42 | $\frac{la'}{K_4}$ | I | F4 |

Dans ce tableau statistique, nous pouvons remarquer que la majorité des sols rencontrés correspondent à des sols bruns lessivés.

| Noms des sols | Brun calcaire | Brun calcique | Brun colluvial | Pseudo-gley | Gley | Brun à pellicule calcaire | Brun lessivé | Brun humo-calcique | Lithocalcique humifére à mor |
|---|---|---|---|---|---|---|---|---|---|
| Récurrence | 5 | 4 | 4 | 3 | 2 | 4 | 10 | 6 | 2 |
| Distribution en % | 11,9 | 9,5 | 9,5 | 7,1 | 4,7 | 9,5 | 23,8 | 14,3 | 4,76 |

Toutes ces données peuvent être synthétisées dans la carte ci-après :

***Carte génétique***

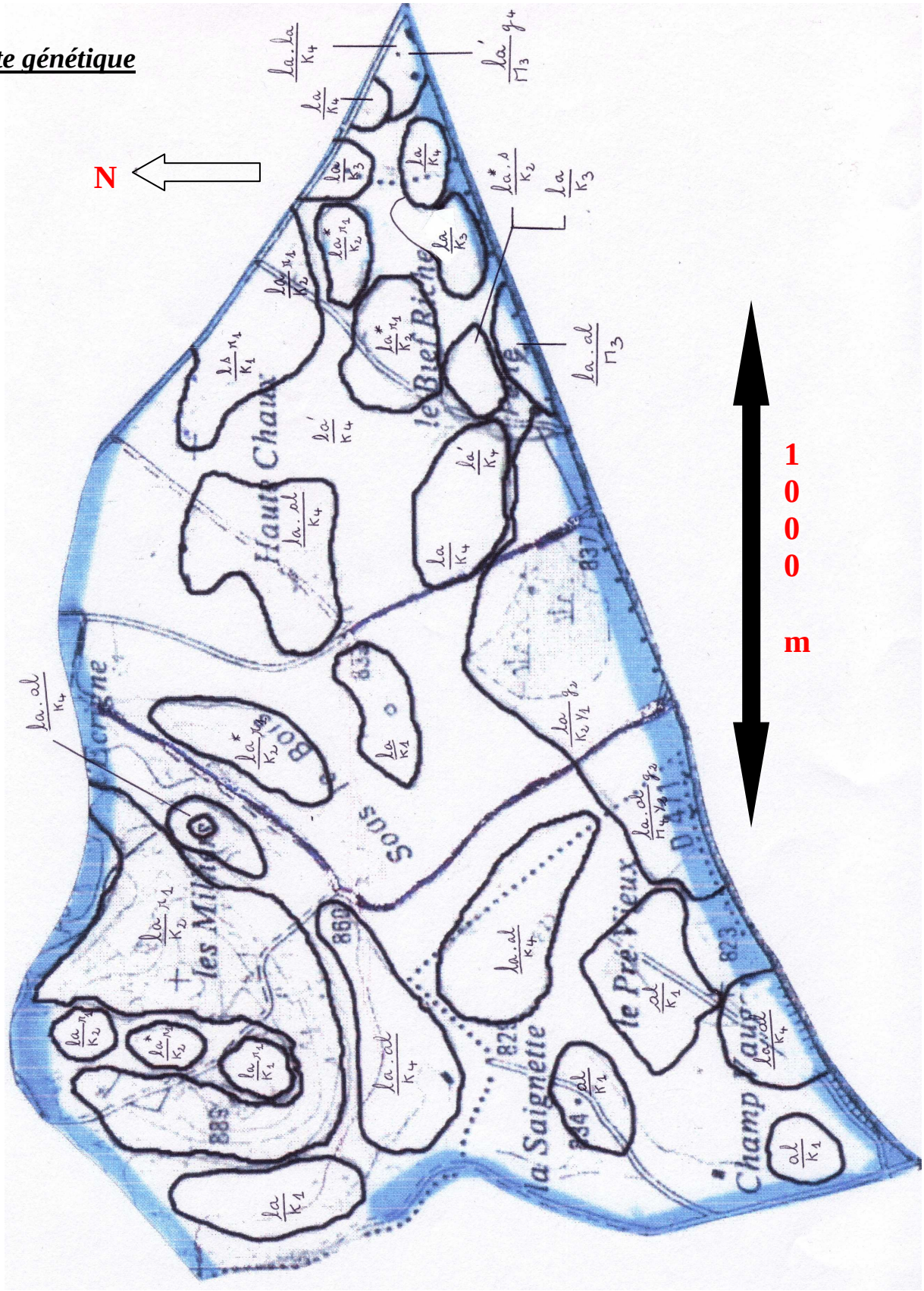

# 1. Cartes obtenues :

La cartographie des sols a pour but de définir les unités-sols du secteur prospecté, et de préciser leur extension géographique.
C'est une opération de synthèse que nous allons présenter dans cette partie ; en définissant chaque relation qui existe entre chaque type de sol et son milieu. Nous montrerons les interactions apparentes entre chaque parcelle de terrains.

## *a) Cartes des patates :*

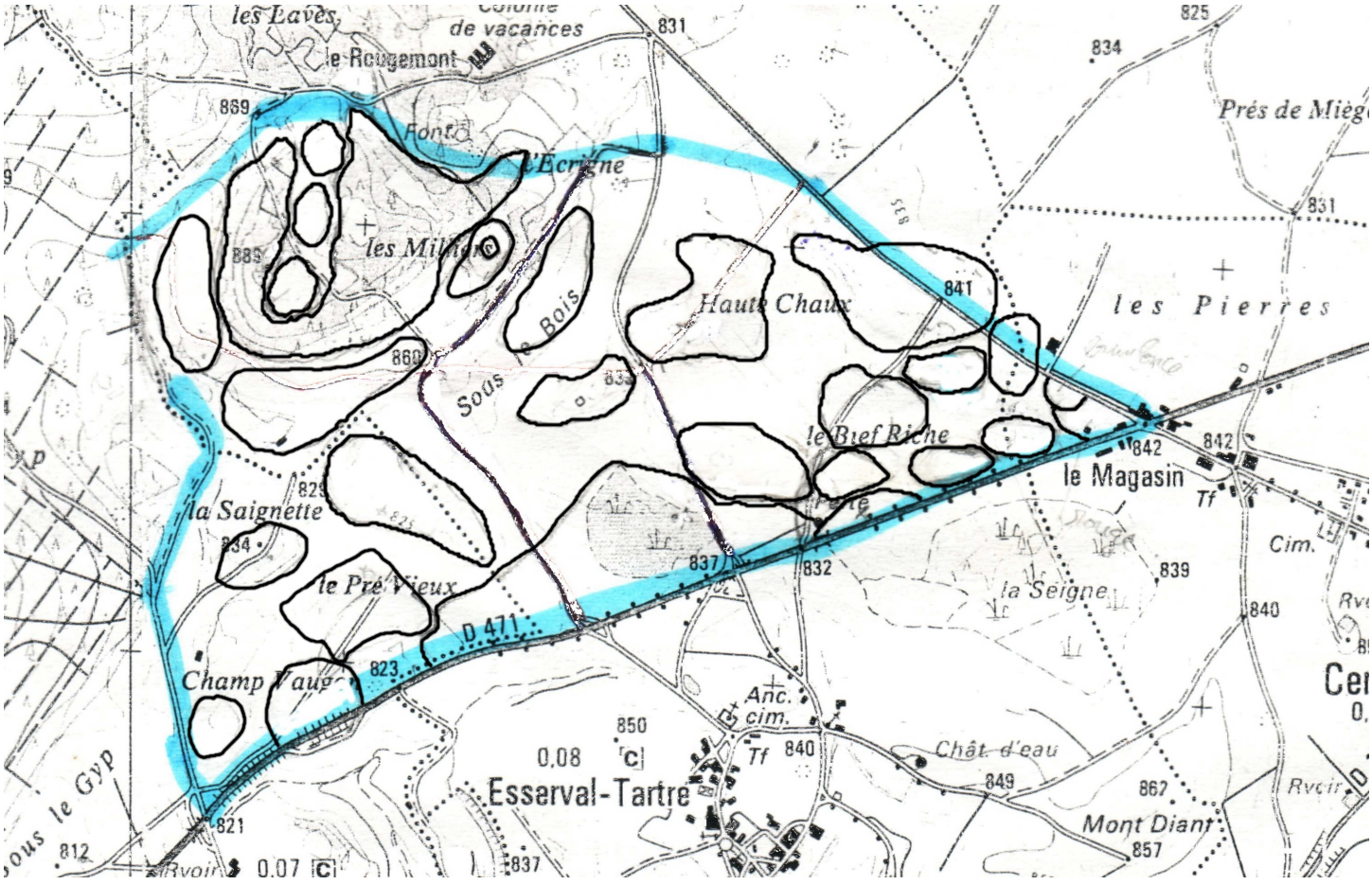

Voici le résultat de nos séries de prélèvements. Le choix de la plupart des points de prélèvements en position sommitale est volontaire.

Nous faisons ici l'hypothèse simplificatrice que le type de sol constituant les parties basses entre les reliefs correspond à un sol d'apport ou colluvial.

Après avoir mis le sigle de Bruckert correspondant à chaque point, nous avons utilisé la clé dichotomique de classement des sols agricoles franc-comtois(cf. annexe 7) afin de déterminer les classes des sols.

Pour une « patate » ayant que des points d'une même classe, on attribue la classe des points à toute la butte.

A une patate comportant des points de classes différentes, nous avons attribué la classe du point le plus défavorable. En effet, l'objectif final est d'élaborer une carte des utilisations possibles de ces sols**.**